

The effect of high-intensity interval training with a high-fat diet on the expression of m1 and m2 macrophages in the gastrocnemius muscle of male wistar rats

Alireza Fatahian¹, Mohammad Reza Kordi^{1*}, Ali Asghar Ravasi¹, Reza Gharakhanlou²

1. Department of Exercise Physiology, Faculty of Sport Sciences and Health, University of Tehran, Tehran, Iran
2. Department of Sports Physiology, Faculty of Human Sciences, Tarbiat Modares University, Tehran, Iran

Corresponding author e-mail: mrkordi@ut.ac.ir

Abstract

Background and Objective: Physical activity is examined in various aspects, such as the structure of the muscular system. This study investigated the impact of a high-intensity interval training (HIIT) program combined with a high-fat diet on the expression of M1 and M2 macrophages in the gastrocnemius muscle of male Wistar rats.

Materials and Methods: 24 healthy adult male Wistar rats with an average weight of 195 ± 15 grams and age of 6 weeks were randomly divided into 4 groups: control, HIIT, high-fat diet, and HIIT with a high-fat diet. Interventions included 10 weeks of HIIT and a high-fat diet. Subsequently, samples were collected from the gastrocnemius muscle. The levels of M1 and M2 macrophages were measured using Real-Time-PCR. Data analysis was performed using one-way analysis of variance at a significance level of $P < 0.05$.

Results: Significant differences were observed between groups in the expression of M1 ($P = 0.0004$) and M2 ($P = 0.0023$) macrophages. M1 macrophage expression was significantly higher in the high-fat diet group compared to the HIIT group ($P = 0.0001$). M1 macrophage expression was significantly lower in the HIIT with a high-fat diet group compared to the high-fat diet group ($P = 0.0001$), but M2 macrophage expression was significantly higher in the HIIT with a high-fat diet group compared to the high-fat diet group ($P = 0.0003$).

Conclusion: These findings suggest that HIIT can reduce M1 macrophage expression and increase M2 macrophage expression, mitigating the negative effects of a high-fat diet.

Keywords: High-intensity interval training, High-fat diet, Macrophage m1, Macrophage m1

Received: Jul 16, 2024

Revised: Aug 24, 2024

Accepted: Aug 31, 2024

How to cite this article: Fatahian A, Kordi MR, Ravasi AA, Gharakhanlou R. The effect of high-intensity interval training with a high-fat diet on the expression of M1 and M2 macrophages in the gastrocnemius muscle of male wistar rats. Daneshvar Medicine 2024; 32(3):80-94. doi: 10.22070/DANESHMED.2024.19291.1510

This is an open access article distributed under the terms of the Creative Commons Attribution-Non Commercial License 4.0 (CCBYNC), where it is permissible to download, share, remix, transform, and buildup the work provided it is properly cited. The work cannot be used commercially without permission from the journal.

تأثیر یک دوره تمرین تناوبی با شدت بالا همراه با رژیم غذایی پرچرب بر بیان ماکروفارژهای M1 و M2 در عضله گاستروکنیوس موش های بزرگ نر نژاد ویستار

علیرضا فتاحیان^۱، محمدرضا کردی^{۱*}، علی اصغر رواسی^۱، رضا قراخانلو^۲

۱. گروه فیزیولوژی ورزشی، دانشکده علوم ورزشی و تندرسنی، دانشگاه تهران، تهران، ایران

۲. گروه فیزیولوژی ورزشی، دانشکده علوم انسانی، دانشگاه تربیت مدرس، تهران، ایران

Email: mrkordi@ut.ac.ir

*نویسنده مسئول: محمدرضا کردی

چکیده

مقدمه و هدف: فعالیت ورزشی در جنبه‌های مختلفی مانند سیستم عضلانی بررسی می‌شود. این پژوهش به بررسی تأثیر یک دوره تمرین تناوبی شدت بالا همراه با رژیم غذایی پرچرب بر بیان ماکروفارژهای M1 و M2 در عضله گاستروکنیوس رت‌های نر نژاد ویستار می‌پردازد.

مواد و روش‌ها: تعداد ۲۴ سرت نر بالغ سالم نژاد ویستار با میانگین وزن ۱۹۵ ± ۱۵ گرم و سن ۶ هفته به طور تصادفی به ۴ گروه کنترل، تمرین تناوبی با شدت بالا، تغذیه پرچرب و تمرین تناوب با شدت بالا با تغذیه پرچرب تقسیم شدند. مداخلات، شامل ۱۰ هفته تمرینات تناوبی با شدت بالا و تغذیه پرچرب بود. سپس، نمونه‌برداری از عضله گاستروکنیوس انجام شد. مقادیر ماکروفارژهای M1 و M2 با استفاده از روش Real-Time-PCR اندازه‌گیری شد. تجزیه تحلیل داده با استفاده از تحلیل واریانس یک‌طرفه در سطح معنی‌داری ($P<0.05$) انجام شد. اختلاف معنی‌داری بین گروه‌ها در بیان ماکروفارژهای M1 ($P=0.0004$) و M2 ($P=0.0023$) مشاهده شد. بیان ماکروفارژ M1 در گروه تغذیه پرچرب نسبت به گروه تمرین تناوبی با شدت بالا به طور معنی‌داری بالاتر ($P=0.0001$) بود. بیان ماکروفارژ M1 در گروه تمرین تناوبی با شدت بالا با تغذیه پرچرب نسبت به گروه تغذیه پرچرب به طور معنی‌داری کمتر بود ($P=0.0001$)، اما بیان ماکروفارژ M2 در گروه تمرین تناوبی با شدت بالا با تغذیه پرچرب نسبت به گروه تغذیه پرچرب به طور معنی‌داری بالاتر ($P=0.0003$) بود.

نتیجه‌گیری: با توجه به نتایج به نظر می‌رسد تمرینات تناوبی با شدت بالا می‌تواند بیان ماکروفارژهای M1 را کاهش و ماکروفارژهای M2 را افزایش دهد و از اثرات منفی تغذیه پرچرب جلوگیری کند.

واژه‌های کلیدی: تمرین تناوبی با شدت بالا، رژیم غذایی پرچرب، ماکروفارژ M1، ماکروفارژ M2

وصول مقاله: ۱۴۰۳/۰۴/۲۶

اصلاحیه نهایی: ۱۴۰۳/۰۶/۰۳

پذیرش: ۱۴۰۳/۰۶/۱۰

مقدمه

سلولی، میکروب‌ها، سلول‌های سلطانی و هر چیز دیگری که پروتئین‌های ویژه سلول‌های سالم بدن را بر روی سطحش نداشته باشد از بین می‌برند. آن‌ها به اشکال مختلفی (بانام‌های گوناگون) در سراسر بدن به حرکت درمی‌آیند. (مثل هیستوسیت‌ها^۱، سلول‌های کوپفر^۲، ماکروفازهای آلتوئولار^۳، میکروگلیاهای^۴ و سایر اشکال)، اما همه آن‌ها بخش‌هایی از دستگاه فاگوسیت تک‌هسته‌ای می‌باشند. آن‌ها در کنار عمل بیگانه‌خواری، نقش حیاتی در دفاع غیراختصاصی داشته و به دستگاه ایمنی ذاتی (و همچنین شروع سازوکار دفاع اختصاصی) و دستگاه ایمنی تطبیقی (با به کارگیری بقیه سلول‌های ایمنی چون لنفوسیت‌ها)^۵؛ کمک می‌کنند^(۶). ماکروفازها در بافت چربی می‌توانند فنوتیپ‌های پیش التهابی (M1) یا ضدالتهابی (M2) را بر اساس وضعیت فعل کنند. زمانی که ذخیره چربی بدن بیش از حد افزایش می‌باید، نسبت ماکروفازهای شبه M1 به M2 به طور قابل توجهی افزایش می‌یابد که منجر به ترشح سایتوکاین‌های التهابی مانند IL-6^۶، IL-1^۷ β و MCP-1^۸ می‌شود که مقاومت به انسولین و اختلال عملکرد متابولیک را تشديد می‌کند^(۹). بنابراین با بروز چاقی و افزایش بیش از حد بافت چربی التهاب در بدن افزایش پیدا می‌کند. در همین راستا شواهد پژوهشی نشان داده است که مصرف غذای پرچرب باعث بروز التهاب در قسمت‌های مختلف بدن می‌شود^(۱۰). شواهد پژوهشی نشان داده است که فعالیت ورزشی باعث بهبود در سطوح مختلف التهاب در بدن می‌شود. در همین راستا، تحقیقات نشان داده است که فعالیت ورزشی بسته به شدت و نوع آن می‌تواند اثرات ضدالتهابی و پیش التهابی داشته باشد^(۱۱-۱۲).

-
1. Histiocytes
 2. Kupffer Cell
 3. Alveolar Macrophages
 4. Microglia
 5. Interleukin 6
 6. Interleukine-1 Beta
 7. Monocyte Chemoattractant Protein-1

ماکروفازها نوعی از سلول‌های ایمنی هستند که نقش مهمی در دفاع بدن در برابر عوامل بیماری‌زا دارند. آن‌ها در فرآیندهای فیزیولوژیکی مختلف، از جمله پاکسازی بقایای سلولی، تنظیم التهاب و حفظ هموستاز بافت نقش دارند. رژیم‌های غذایی پرچرب یکی از مواردی است که به شدت می‌تواند ماکروفازها را تحت تاثیر قرار دهد که این می‌تواند اختلالات متابولیک و بدتر شدن شرایط بیماری‌هایی مانند کبد چرب و چاقی را به همراه داشته باشد^(۱۲). در دنیای مدرن امروزی با توجه به شیوع روزافزون بیماری‌های غیرواگیر و مسائل بهداشتی مرتبط با سبک زندگی، اولویت‌بندی سلامت از اهمیت بالایی برخوردار است. تحقیقات بر نقش حیاتی تغذیه و فعالیت بدنی در حفظ سلامت و تندرستی کلی تأکید می‌کند و پیامدهای نادیده گرفتن این جنبه‌های ضروری را برجسته می‌کند. در همین راستا، رژیم غذایی ناسالم و سبک زندگی کم تحرک، توسط سازمان بهداشت جهانی به عنوان خطرات اصلی سلامت جهانی شناخته شده است. بنابراین رژیم غذایی متعادل و غنی از مواد مغذی برای حفظ سلامت مطلوب و کاهش خطر ابتلا به بیماری‌های مختلف و چاقی بسیار مهم است^(۱۳). امروزه مصرف غذایی پرچرب و به‌اصطلاح فست‌فود افزایش یافته که درنهایت سبب بروز چاقی و افزایش تجمع چربی مضر در بدن می‌شود^(۱۳). بافت چربی، نقش مهمی در ایجاد و پیشرفت التهاب مزمن دارد که فقط انبار ذخیره غیرفعال انرژی نیست، بلکه یک اندام فعال است که از طریق سیگنال‌های هورمونی با سایر اندام‌ها و سیستم‌ها ارتباط برقرار می‌کند و بر فرآیندهای متابولیک و سلامت کلی بدن تأثیر می‌گذارد^(۱۳). به‌طور کلی سلول‌های چربی بزرگ مواد شیمیایی ترشح می‌کنند که ماکروفازها را به داخل چربی می‌کشند. این سلول‌های ایمنی باعث التهاب می‌شوند که درنهایت منجر به مقاومت به انسولین می‌شود^(۱۴). عملکرد اصلی ماکروفازها در دستگاه ایمنی است که باقی‌ماندهای

سرطان دارند (۱۷). امروزه تمرینات تناوبی با شدت بالا بسیار موردنمود توجه قرار گرفته است که به عنوان یک استراتژی ورزشی مؤثر برای بهبود سلامت متابولیک و کاهش التهاب در افراد مبتلا به چاقی و اضافه وزن در نظر گرفته می‌شود (۱۹، ۱۸) که شامل دوره‌های کوتاه تمرین شدید و به دنبال آن دوره‌های استراحت غیرفعال یا فعال با شدت پایین است و نشان داده شده است که مزایای متعددی را نسبت به تمرینات تدامی با شدت متوسط سنتی دارد (۱۸). به طور کلی نشان داده شده است که هر دو نوع فعالیت ورزشی تناوبی با شدت بالا و تمرینات تدامی با شدت متوسط باعث افزایش التهاب می‌شوند اما تمرینات تناوبی با شدت بالا در مقایسه با تمرین هوایی مداوم طولانی مدت منجر به پاسخ التهابی در دوره کمتری می‌شود (۲۱، ۲۰).

از آنجایی که پژوهشی به بررسی فعالیت بدنی با مصرف توأم رژیم غذایی پرچرب بر بیان ماکروفائزهای M1 و M2 نپرداخته است، هدف از پژوهش حاضر بررسی تأثیر یک دوره تمرین تناوبی با شدت بالا همراه با رژیم غذایی پرچرب بر بیان ماکروفائزهای M1 و M2 در عضله گاستروکنیمیوس رت‌های نر نژاد ویستار است.

مواد و روش‌ها

پژوهش حاضر به صورت تجربی در حیوان‌خانه دانشگاه تهران و با استفاده از نمونه‌گیری تصادفی ساده انجام شده است. حجم نمونه با نرم افزار G.power نسخه ۲، ۹، ۱، ۳ با استفاده از اطلاعات $\alpha = 0.05$ ، $\beta = 0.85$ ، $1 - \beta = 0.85$ ، تعداد گروه = ۴ و اندازه اثر متوسط = ۰/۲۵ ۲۴ سرعت در نظر گرفته شد. در این راستا، ۲۴ سرعت نر بالغ سالم نژاد ویستار ۶ هفتنهای با میانگین وزنی ۱۸۰ گرم از انستیتو پاستور خریداری و در قفسه‌های پلی‌کربناتی به صورت ۳ تایی در محیطی با میانگین دمای $22 \pm 1/4$ درجه سلسیوس و رطوبت 55 ± 4 درصد و چرخه روشنایی-تاریکی ۱۲:۱۲ ساعت نگهداری شدند. کلیه ملاحظات اخلاقی در تمام مراحل نگهداری، کشتار نمونه‌ها و دستورالعمل نگهداری

مشخص شده است که فعالیت ورزشی با شدت متوسط به طور کلی عملکرد سیستم ایمنی را بهبود می‌بخشد و التهاب را کاهش می‌دهد (۱۱). یکی از دلایل اصلی کاهش التهاب با افزایش شدت فعالیت ورزشی با کاهش بافت چربی مرتبط باشد. مقادیر بیشتر توده چربی با افزایش التهاب در ارتباط است، بنابراین مزایای ضدالتهابی ورزش ممکن است با تغییرات مطلوب در ترکیب بدن همراه باشد. از طرفی نشان داده شده است که فعالیت ورزشی استقامتی باعث تغییر ترشح ماکروفائزها از M1 به M2 می‌شود که علت آن را می‌توان به بهبود نسبت ماکروفائزهای M1 به M2 نسبت داد (۱۲). فعالیت ورزشی با کاهش ماکروفائزهای M1 و افزایش ماکروفائزهای M2 در نهایت از IL1 β و TNF α بروز سایتوکین‌های پیش التهابی مانند جلوگیری کرده و تولید کلارژن، بازسازی، رشد و ترمیم عضلات را بهبود می‌بخشد (۱۴-۱۲). با این حال در رابطه با فعالیت ورزشی باید به شدت و نوع آن توجه ویژه‌ای شود. تحقیقات نشان داده است که فعالیت ورزشی بسته به شدت و نوع ورزش می‌تواند اثرات ضدالتهابی و پیش التهابی داشته باشد (۱۱-۹). مشخص شده است که فعالیت ورزشی با شدت متوسط به طور کلی عملکرد سیستم ایمنی را بهبود می‌بخشد و التهاب را کاهش می‌دهد. با این حال، فعالیت ورزشی با شدت بالا می‌تواند منجر به اختلال در عملکرد ایمنی و افزایش سایتوکین‌های پیش التهابی شود. به طور کلی در رابطه با شدت هم نشان داده شده است که شدت بالا نباید منجر به واماندگی و فرسودگی جسمی شود (۲، ۷، ۸). از طرفی نشان داده شده است که یک رابطه معکوس بین فعالیت بدنی و التهاب وجود دارد و فعالیت ورزشی با شدت بالاتر عموماً منجر به کاهش بیشتر نشانگرهای التهابی می‌شود (۱۷-۱۵). همان‌طور که قلباً هم اشاره شد مصرف غذاهای پرچرب با التهاب و فعل شدن ماکروفائزها مرتبط است که نقش مهمی در شرایط مختلف سلامتی از جمله اختلالات متابولیک مرتبط با چاقی مانند دیابت نوع ۲، بیماری‌های قلبی عروقی و انواع خاصی از

حیوانات به مدت ۱ هفته جهت آشنایی و تطابق با ترمیل ۶ متر در دقیقه به مدت ۱۰ دقیقه) تمرین کردند و سپس آزمون حداکثر ظرفیت دویدن انجام شد. شروع تمرین با گرم کردن به مدت ۳ دقیقه با شدت ۱۰ متر در دقیقه و ۲ دقیقه با شدت ۱۵ متر و سرد کردن به مدت ۱ دقیقه با شدت ۱۵ متر در دقیقه، ۲ دقیقه با شدت ۱۰ متر در دقیقه به پایان رسید (۲۳). این آزمون با سرعت ۶ متر در دقیقه شروع و به تدریج هر ۳ دقیقه، ۳ متر در دقیقه افزایش یافت تا زمان رسیدن به خستگی. این سرعت به عنوان وامانده‌سازی نمونه‌ها در رسیدن به انتهای خط ترمیل پس از تحریک با محرک مکانیکی (برس نرم) در عرض ۱ دقیقه تعریف شد. ۱۰۰ درصد حداکثر ظرفیت دویدن، به عنوان حداکثر سرعت به دست آمده در طول آزمون و مسافت طی شده به عنوان عملکرد هوایی حیوان در نظر گرفته شد. تمرینات هر جلسه ۳ بار در هفته و به مدت ۱۰ هفته با شیب صفر درجه انجام شد. نمونه‌هایی که در گروه تمرینی قرار نداشتند فقط در طول دوره سازگاری و انجام آزمایش حداکثر ظرفیت دویدن فعالیت دویدن را انجام دادند (۲۴). مشخصات تمرینات تناوبی شدید در جدول ۱ آرائه شده است.

حیوانات آزمایشگاهی مورد تأیید کمیته اخلاق با شناسه IR.SSRC.REC.1402.221 نمونه‌ها پس از دو هفته آشنایی با محیط با میانگین وزنی 196 ± 7 گرم به طور تصادفی به ۴ گروه کنترل (تغذیه معمولی)، تغذیه پرچرب، تمرین تناوبی (تغذیه معمولی) و تمرین تناوبی با تغذیه پرچرب تقسیم شدند. به نمونه‌ها در گروه رژیم غذایی پرچرب به مدت ۱۰ هفته رژیم غذایی پرچرب و در گروه رژیم غذایی استاندارد، غذای استاندارد (مطابق با دستورالعمل پلت سرماسازی رازی) ارائه شد. مداخلات غذایی و تمرینی هم‌زمان شروع شد که تا ۱۰ هفته ادامه پیدا کرد. قبل و پس از اعمال مداخلات؛ قد، وزن و شاخص لی در هر دو گروه اندازه‌گیری شد.

ترکیب رژیم غذایی پرچرب شامل ۶۰ درصد انرژی کل از چربی، ۲۰ درصد از کربوهیدرات و ۲۰ از درصد پروتئین بود. در طول پژوهش رت‌های گروه کنترل در مدت زمان ۱۰ اجرای تمرینات ورزشی رژیم غذایی استاندارد شامل ۱۰ درصد انرژی دریافتی از چربی ۷۰ درصد از کربوهیدرات و ۲۰ درصد از پروتئین در نظر گرفته شد (۲۲).

پروتکل تمرینات تناوبی شدید

تمرینات تناوبی شدید شامل هشت دوره فعالیت شدید با شدت ۹۰٪ حداکثر ظرفیت دویدن به مدت ۲ دقیقه و ۳۰ ثانیه دوره‌های استراحت فعال در ۵۰٪ حداکثر ظرفیت دویدن به مدت ۲ دقیقه و ۳۰ ثانیه دقیقه اجرا شد. همه

جدول ۱. مشخصات تمرینات تناوبی شدید

تعداد تکرار	سرعت نوار گردان (m/min)	شدت فعالیت زمان استراحت (MRC)	سرعت نوار گردان (m/min)	مدت کل (دقیقه)	هفت
۸	۱۸	۵۰	۹	۴۰	اول
۸	۱۸	۵۰	۹	۴۰	دوم
۸	۲۰	۵۰	۱۰	۴۰	سوم
۸	۲۰	۵۰	۱۰	۴۰	چهارم
۸	۲۲	۵۰	۱۱	۴۰	پنجم
۸	۲۲	۵۰	۱۱	۴۰	ششم
۸	۲۴	۵۰	۱۲	۴۰	هفتم
۸	۲۴	۵۰	۱۲	۴۰	هشتم
۸	۲۴	۵۰	۱۲	۴۰	نهم
۸	۲۴	۵۰	۱۲	۴۰	دهم

شد. با استفاده از دستگاه میکروتوم چرخان، برش‌هایی با ضخامت ۵ میکرومتر تهیه گردید. برای این منظور، ابتدا بلوک‌های پارافینی حاوی نمونه‌های بافتی تراشیده شده و پس از درج شماره سریالی، روی پایه نصب شدند. پس از برش‌های متواالی، مقاطع با کمک پنس برداشته و در حوضجه آب شناور شدند. سپس، لامها در دمای ۳۷ درجه سلسیوس به مدت ۲۴ ساعت در خشککن قرار گرفتند. در ادامه، هر برش با رنگ‌آمیزی هماتوکسیلین-ائوزین (H&E) انجام شد و با میکروسکوپ نوری LABOMED عکس‌برداری صورت گرفت. از نرم‌افزار تصویربرداری IMAGEJ برای انتخاب تصادفی ۴ ناحیه در سراسر بخش‌های بافتی استفاده شد.

پروتکل ایمونو‌فلورسنت

لامها را در محلول TBS ۱X (T5912-Sigma) در داخل مایکروفر قرار داده و پس از رسیدن به نقطه جوش، مایکروفر را خاموش کردیم. سپس، نمونه‌ها به مدت ۲۰ دقیقه در همان محلول باقی ماندند. پس از آن، نمونه‌ها با PBS (Sigma-P4417) در ۳ مرحله و هر مرحله به مدت ۵ دقیقه شستشو داده شدند. سپس، تریتون ۳٪ درصد به مدت ۳۰ دقیقه به نمونه‌ها افزوده شد تا غشاء سلول‌ها نفوذپذیر شوند. نمونه‌ها با PBS شستشو داده شده و سرم بز ۱۰ درصد به مدت ۴۵ دقیقه به آن‌ها اضافه شد تا واکنش آنتی‌بادی ثانویه بلوکه شود. آنتی‌بادی اولیه (رقیق شده ۱:۱۰۰ در PBS) روی نمونه‌ها ریخته شد و در محیط مرطوب در یخچال (دماي ۲ تا ۸ درجه سلسیوس) به مدت ۲۴ ساعت قرار گرفتند. پس از ۵ ساعت، نمونه‌ها از یخچال خارج شده و ۴ بار به مدت ۵ دقیقه با PBS شستشو داده شدند. سپس، آنتی‌بادی ثانویه با رقت ۱:۱۵۰ اضافه و در انکوباتور ۳۷ درجه سلسیوس مدل AriaTeb (AriaTeb) به مدت ۱ ساعت و ۳۰ دقیقه در تاریکی انکوبه شد. نمونه‌ها پس از انتقال به اتاق تاریک، ۳ بار شستشو داده شده و DAPI (Sigma) به آن‌ها افزوده شد. پس از ۲۰ دقیقه، نمونه‌ها با PBS شستشو داده شدند. در نهایت، محلول گلیسرول و PBS روی نمونه‌ها ریخته

نمونه برداری

۴۸ ساعت پس از آخرین جلسه تمرینی، اندازه‌گیری وزن انجام شد. در مرحله بعد، نمونه‌ها با استفاده از ترکیبی از زایلazin (۱۰ میلی‌گرم بر کیلو‌گرم) و کتامین (۸۰ میلی‌گرم بر کیلو‌گرم) به صورت تزریق درون صفاقی بیهوش شدند. پس از اطمینان از بیهوشی با رعایت اصول اخلاقی، نمونه‌ها قربانی شدند. نمونه‌های بافت عضله گاستروکنیموس جمع‌آوری و با محلول کلرو سدیم ۹ درصد شستشو و پس از آغشته کردن به محلول RNA later (شرکت بهنوزن ایران) به ظروف حاوی محلول نمکی بافر فسفات (PBS5) انتقال داده شد. سپس بلافارسله با نسبت (۱:۱۰) به لحاظ حجمی در PBS همگن و به مخزن نیتروژن مایع انتقال یافت. نمونه‌های بافتی برای انجام مراحل بعدی در فریزر -۸۰ درجه سانتی‌گراد نگهداری شدند.

استخراج RNA و بیان ژن (Real-Time PCR)

برای ارزیابی تغییرات ژنی، از روش واکنش زنجیره‌ای پلیمراز (PCR) استفاده شد. ابتدا، کل RNA با استفاده از محلول ترایزول (تولید شرکت کیا زیست ایران) استخراج شد. سپس، غلظت نمونه‌ها با استفاده از دستگاه اسپکتروفوتومتر نانودرایپ (ساخت آمریکا) اندازه‌گیری شد. میزان جذب نوری نمونه‌ها در طول موج‌های ۲۶۰ و ۲۸۰ نانومتر سنجیده شد و بر اساس ضریب دقت، غلظت RNA به واحد نانوگرم بر میکرولیتر محاسبه گردید. برای RNA جلوگیری از تکثیر احتمالی DNA ژنومی همراه با استخراج شده، نمونه‌ها با آنزیم DNase (ترموفیشر) تیمار شدند. در نهایت، ساخت cDNA در دو مرحله با استفاده از کیت پارس تووس (ساخت ایران) انجام شد.

پروسه بافتی و قالب‌گیری و رنگ‌آمیزی

پس از جداسازی عضله گاستروکنیموس از بدن موش‌ها، بلافارسله مقدار ۱ گرم از بافت به مدت ۲۴ ساعت در محلول فرمالین ۱۰ درصد قرار گرفت. سپس، جهت انجام مراحل آبگیری، بافت در الکل اتیلیک دهیدراته شده و در قالب‌های پارافینی (تولید شرکت مجللی ایران) قرار داده

آنزیم‌های کبدی

سطوح سرمی آلکالین فسفاتاز (ALP)، آلانین آمینو ترانسферاز (ALT) و آسپارتات آمینو ترانسферاز (AST) با استفاده از روش‌های اسپکترو فتو متری استاندارد با کیت‌های تجاری پارس آزمون مدل پارس آزمای AST-456 و AST-789 ALP123 طبق پروتکل‌های سازنده اندازه‌گیری شد.

برآورد ترکیب بدنی رت‌ها

شاخص لی

وزن رت‌ها به صورت هفتگی اندازه‌گیری و برای کنترل چاقی آن‌ها از شاخص لی مورد استفاده قرار گرفت که در ابتدا در هفته‌های هشتم و دهم پس از اعمال مداخلات اندازه‌گیری و محاسبه شد.^(۲۷) این شاخص به عنوان شاخصی از ترکیب بدنی در جوondگان محاسبه می‌شود که فرمول آن در زیر آمده است:

شاخص لی = ریشه مکعب وزن بدن (گرم) / قد (سانتی‌متر)

وزن بدن

وزن بدن به صورت هفتگی و ۴۸ ساعت پس از آخرین جلسه تمرینی با استفاده از ترازوی دیجیتال ترازوی موش آزمایشگاهی ساخت شرکت کیمیا کهربای میان با دقیق ۰/۱ گرم اندازه‌گیری شد.

تجزیه و تحلیل آماری

از آمار توصیفی برای توصیف داده‌ها استفاده شد. آزمون شاپیرو ویلک برای بررسی نرمال بودن داده‌ها و آزمون تحلیل واریانس یک طرفه و سپس آزمون تعقیبی توکی برای تعیین معنادار بودن تفاوت میانگین متغیرهای اندازه‌گیری شده بین گروه‌ها استفاده شد. سطح معنی‌داری $p < 0.05$ در نظر گرفته شد. آنالیز آماری با استفاده از نرم‌افزار SPSS نسخه ۲۴ و رسم نمودارها با استفاده از نرم‌افزار Excel 2016 انجام شد.

نتایج

مشخصات آنтроپومتریک و متابولیک اندازه‌گیری شده در گروه‌های مطالعه در جدول ۲ آمده است.

و لام جهت عکس‌برداری فلورسنت با میکروسکوپ Olympus برای تائید مارکرهای قرار گرفت.

متغیرهای جانبی

بررسی‌های بیوشیمیابی

۴۸ ساعت پس از پایان دوره مداخله ۱۰ هفته‌ای، پس از ۱۲ ساعت ناشتاپی شبانه و پس از اطمینان از بیهوشی نمونه‌ها با رعایت اصول اخلاقی نمونه‌ها آسان‌کشی شده و قفسه سینه شکافته شده و به طور مستقیم خون از قلب گرفته شد. ۵ سی‌سی خون در لوله‌های حاوی ژل لخته با سرعت ۲۴۰۰ دور در دقیقه به مدت ۱۵ دقیقه در دمای اتاق به منظور جداسازی سرم سانتریفیوژ شد. سرم جداشده در مراحل بعدی روند پژوهش در فریزر با دمای -۲۰ درجه سانتی‌گراد نگهداری شد. برای اندازه‌گیری میزان انسولین سرمی، از روش الایزای ساندویچی با استفاده از کیت شرکت MyBioSource (ساخت آمریکا) با حساسیت ۲ پیکوگرم بر میلی‌لیتر شماره کاتالوگ MBS724708 مطابق با دستورالعمل ذکر شده در بروشور کیت استفاده شد. سطوح سرمی کلسترول، تری‌گلیسیرید، کلسترول HDL (C-HDL) و کلسترول C-LDL LDL (C-LDL) نیز به‌وسیله دستگاه اتوآنالایزر و با استفاده از کیت‌های تجاری شرکت پارس آزمون اندازه‌گیری شدند. همچنین، گلوکز با استفاده از کیت گلوکز (شرکت پارس آزمون ایران) به روش گلوکز اکسیداز با حساسیت ۵ میلی‌گرم بر دسی‌لیتر اندازه‌گیری شد. شاخص مقاومت به انسولین (HOMA-IR) (۲۵) و کلسترول VLDL (۲۶) با استفاده از فرمول‌های زیر محاسبه شد.

$$\text{HOMA-IR} = \frac{\text{گلوکز} \times (\mu\text{U/mL})}{(\text{انسولین ناشتا})} = \frac{\text{گلوکز} \times (\text{mg/dL})}{(\text{ناشتا})} / ۴۰۵$$

$$\text{VLDL} = \frac{5}{\text{تری گلیسیرید}} = \text{کلسترول}$$

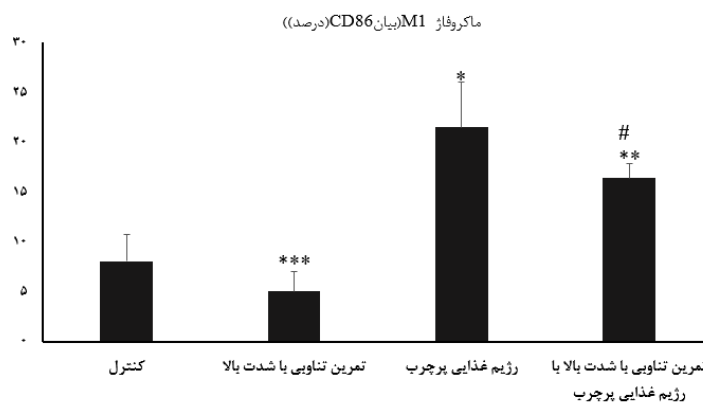
جدول ۲. مشخصات آنتروپیومتریک و متایولیک اندازه گیری شده در گروههای مطالعه

متغیر	گروه ها	کنترل (غذای معمولی)	تمرین (غذای معمولی)	رژیم غذایی پرچرب	تمرین با رژیم غذایی پرچرب
وزن هفته اول (گرم)	۱۷۴/۴±۰/۳۳	۲۰۶/۱۰±۲۳/۲۳	۱۹۰/۹±۳۳/۲۴	۲۰۵/۱۰±۰/۴۶	۲۰۵/۱۰±۰/۰۵۷
وزن هفته دهم (گرم)	۲۷۱/۱۰±۰/۹۹	۲۶۹/۹±۳۳/۴۳*	۴۵/۰۴۹±۰/۳۲	۲۵۹/۱۰±۰/۰۵۷	۲۹۱/۱±۸۴/۲۱
شاخص لی (ابدا)	۲۸۵/۲±۱۰/۶	۲۸۴/۱±۰/۰۱*	۲۸۹/۱±۰/۰۶	۳۱۳/۲±۰/۰۹۹	۳۱۲/۳±۰/۰۲۰
شاخص لی (انتها)	۳۰۱/۲±۰/۰۳۰	۲۹۹/۲±۰/۲۴/۴۴*	۳۱۲/۳±۰/۰۲۰	۱۱۲/۵±۰/۰۲۳	۱۲۱/۳±۰/۰۲۵
گلوکز سرمهی (mg/dL)	۸۸/۰±۰/۰۴۵	۸۹/۴±۰/۰۲۳*	۱۲۱/۳±۰/۰۲۵	۱۴/۰±۰/۰۳۳	۱۷/۰±۰/۰۸۵
انسولین (IU/ml)	۱۲/۰±۰/۰۴۵	۱۳/۰±۰/۰۶۵*	۱۷/۰±۰/۰۸۵	۳/۰±۰/۰۶۴	۵/۰±۱/۰۷۸
HOMA-IR	۲/۰±۰/۰۲۰	۲/۰±۰/۸۵/۷۴*	۲/۰±۱/۰۷۸	۱۲۸/۴±۱۱/۱۲	۱۶۴/۶±۱/۱۳
تری گلیسرید (mg/dL)	۸۵/۴±۲۴/۳۱	۸۶/۳±۳۱/۱۱*	۸۶/۳±۰/۱۱۳	۲۱۱/۴±۰/۰۱۰	۲۳۰/۶±۲۸/۶۶
کلسترول (mg/dL)	۹۴/۶±۱۳/۰۸	۹۵/۰±۱۳/۷۵*	۹۵/۰±۱/۱۳	۶۱/۲±۰/۰۹۸	۸۹/۲±۰/۱۲۳
LDL(mg/dL)	۳۸/۲±۲۰/۴۱	۳۹/۱±۱۱/۹۸*	۳۹/۱±۰/۱۲۳	۳/۰±۱/۰۰۵	۲/۰±۰/۱۴۸
HDL(mg/dL)	۷/۱±۱/۰۱	۷/۰±۰/۷۶/۶۵*	۷/۰±۰/۱۴۸	۲۵/۰±۶/۸۴	۲۲/۰±۱/۰۱
VLDL(mg/dL)	۱۷/۰±۲۲/۹۷	۱۷/۰±۰/۸۷*	۱۷/۰±۱/۰۱	۳۴۳/۱۷±۴۱/۱۴	۵۹۸/۱۸±۱۷/۲۰
ALP (IU/ml)	۱۴۴/۱۴±۰/۰۰۰	۱۴۶/۱۰±۵/۷۴/۲۳*	۱۴۶/۱۰±۵/۷۴/۲۳*	۸۹/۴±۱۴/۳۳	۱۶۱/۳±۲۱/۱۴
ALT (IU/ml)	۵۷/۰±۴/۲۱	۵۸/۳±۳۱/۴۲*	۵۸/۳±۰/۳۱/۴۲*	۱۷۱/۰±۱۱/۱۲	۲۴۹/۸±۴۴/۰۱
AST (IU/ml)	۹۳/۷±۱۴/۵۷	۹۵/۰±۰/۱۰۰*	۹۵/۰±۰/۱۰۰*		

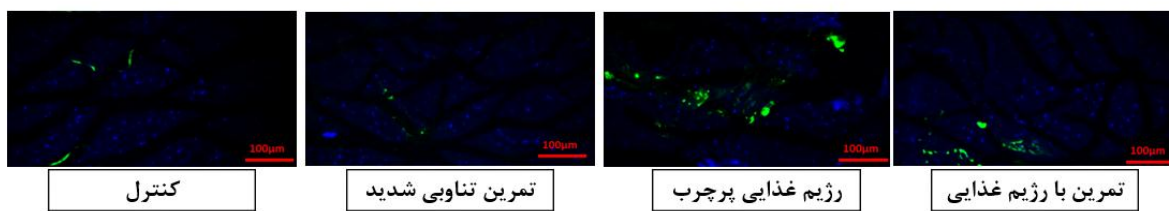
*: نشانه عدم معنی داری با گروه کنترل (غذای معمولی + بدون تمرين) - نداشتند نشانه حاکی از معنی داری با گروه کنترل (غذای معمولی، بدون تمرين) می باشد.

(CD86) تفاوت معنی داری بین گروه های پژوهش را نشان داد ($F=20/23$ و $P=0.0004$). آزمون تعقیبی توکی برای مقایسه بین گروه ها نشان داد که تفاوت معنی داری بین گروه رژیم غذایی پرچرب با گروه کنترل ($P=0.003$ ، $P=0.004$ ، $P=0.001$ ، $P=0.001$)، تفاوت معنی داری بین گروه تناوبی با شدت بالا با رژیم غذایی پرچرب با گروه کنترل ($P=0.0002$) وجود داشت. این تفاوت معنی داری مشاهده نشد ($P=0.07$) در حالی است که بین گروه کنترل با گروه تناوبی با شدت بالا تفاوت معنی داری مشاهده نشد ($P=0.07$) نمودار ۱ مقایسه گروه ها را برای ماکروفاز M1 و شکل ۱ تصاویر ترکیبی با رنگ آمیزی داپی (DAPI) بیان CD86 را نشان می دهد.

نتایج تحلیل واریانس (برای متغیرهای جانبی پژوهش) نشان داد که بین همه گروه‌ها با گروه کنترل در وزن در هفته اول اختلاف معنی‌داری وجود دارد ($P=0.005$) و تا هفته دهم نیز این اختلاف ($P=0.002$) به غیراز گروه تمرین ($P=0.06$) وجود داشت. همچنین بین گروه‌های رژیم غذایی پرچرب و تمرین+رژیم غذایی پرچرب با گروه کنترل در ساختار لی ($P=0.005$ ، $P=0.002$) گلوکز ($P=0.008$ ، $P=0.03$)، انسولین ($P=0.014$ ، $P=0.011$) مقاومت به انسولین ($P=0.004$ ، $P=0.004$)، تری گلیسرید ($P=0.005$ ، $P=0.041$)، کلسترول ($P=0.007$ ، $P=0.031$) HDL ($P=0.011$ ، $P=0.023$) LDL ($P=0.014$) ALP ($P=0.037$ ، $P=0.009$) VLDL ($P=0.047$ $P=0.010$) و ALT ($P=0.005$ ، $P=0.0014$) اختلاف معنی‌داری وجود دارد. آزمون تحلیل واریانس، یک طفه با ماک و فاز M1 (یان

نمودار ۱. تغییرات بیان CD86 در گروه‌های مطالعه (اطلاعات در نمودار بر اساس میانگین \pm انحراف استاندارد)

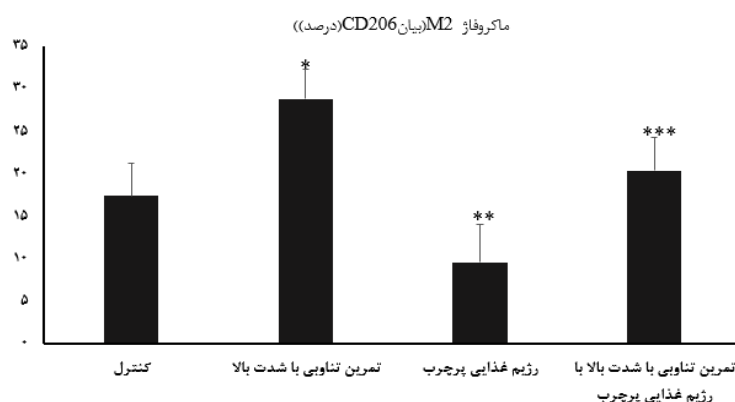
*: تفاوت معنی دار بین گروه رژیم غذایی پرچرب با گروه کنترل، **: تفاوت معنی دار بین گروه تمرین تناوبی با شدت بالا با رژیم غذایی پرچرب با گروه کنترل، ***: تفاوت معنی دار بین گروه رژیم غذایی پرچرب با گروه تمرین تناوبی با شدت بالا، #: تفاوت معنی دار بین گروه تمرین تناوبی با شدت بالا با رژیم غذایی پرچرب با گروه تمرین تناوبی با شدت بالا



شکل ۱. تصاویر ترکیبی با رنگآمیزی داپی (DAPI) بیان CD86 پس از ۱۰ هفته در گروه‌های مطالعه (مقیاس نوار اندازه ۱۰۰ میکرومتر)

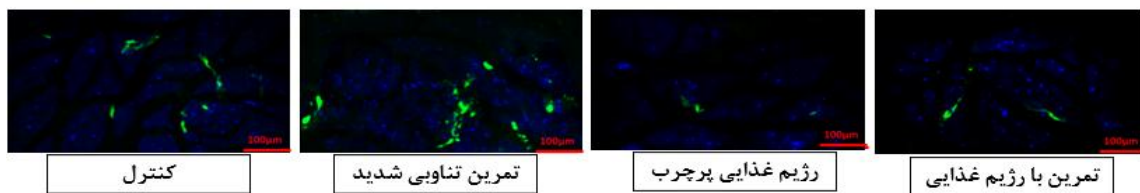
شدت بالا و با رژیم غذایی پرچرب با گروه رژیم غذایی پرچرب ($P=0.0001$). این در حالی است که بین گروه رژیم غذایی پرچرب با گروه کنترل تفاوت معنی داری مشاهده نشد ($P=0.61$). نمودار ۲ مقایسه گروهها را برای مکروفاز M2 و شکل ۲ تصاویر ترکیبی با رنگآمیزی داپی (DAPI) بیان CD206 را نشان می دهد.

آزمون تحلیل واریانس یک طرفه با مکروفاز M2 (بیان CD206) تفاوت معنی داری بین گروههای پژوهش نشان داد ($F=12/25$ و $P=0.023$). آزمون تعقیبی توکی برای مقایسه بین گروهها نشان داد که تفاوت معنی داری بین گروه تمرین تناوبی با شدت بالا با گروه کنترل ($P=0.0001$)، گروه تمرین تناوبی با شدت بالا با گروه رژیم غذایی پرچرب ($P=0.0003$)، گروه تمرین تناوبی با



نمودار ۲. تغییرات بیان CD206 در گروه‌های مطالعه (اطلاعات در نمودار بر اساس میانگین \pm انحراف استاندارد)

*: تفاوت معنی دار بین گروه تمرین تناوبی با شدت بالا با گروه کنترل، **: تفاوت معنی دار بین گروه تمرین تناوبی با شدت بالا با گروه رژیم غذایی پرچرب، ***: تفاوت معنی دار بین گروه تمرین تناوبی با شدت بالا و رژیم غذایی پرچرب با گروه رژیم غذایی پرچرب



شکل ۲. تصاویر ترکیبی بارنگ آمیزی دایپی (DAPI) بیان CD206 پس از ۱۰ هفته در گروه‌های مطالعه (مقیاس نوار اندازه ۱۰۰ میکرومتر)

بحث

M2 می‌شود. در همین راستا نتایج پژوهش ما با مطالعات پیشین در رابطه با اثربخشی تمرین تناوبی با شدت بالا کاهش بیان ماکروفاز M1 (۲۸) و افزایش بیان ماکروفاز M2 (۲۸) همسو هستند. مطالعات دیگری نشان داد که تمرینات تناوبی شدید و فعالیت استقامتی (۲۹) و فعالیت ورزشی با شدت متوسط (۱۲) ماکروفاز M1 را سرکوب و بیان ماکروفاز M2 را افزایش می‌دهند. درمجموع، این یافته‌ها نشان می‌دهد که تمرینات تناوبی شدید می‌تواند پلاریزاسیون ماکروفازها را در ماهیچه‌های اسکلتی و بافت M2 چربی تعديل کند و با ارتقای فنتوپهای ماکروفاز M1 نسبت به ماکروفازهای M1 پیش‌التهابی، یک محیط ضدالالتهابی و احیاکننده را ایجاد کند. این تغییر پلاریزاسیون ماکروفازها، ناشی از تمرینات تناوبی شدید ممکن است به بهبود بازیابی عضلات، بازسازی و سلامت کلی عضلات اسکلتی کمک کند (۲۹، ۲۸، ۱۲). در همین راستا نشان داده شده است که تمرین تناوبی شدید مسیر سیگنالینگ التهابی TLR4/MyD88/NF κ B را در عضله اسکلتی مهار

هدف از پژوهش حاضر بررسی تأثیر یک دوره تمرین تناوبی با شدت بالا همراه با رژیم غذایی پرچرب بر بیان ماکروفازهای M1 و M2 در عضله گاستروکنیموس رت‌های نر نژاد ویستار بود. نتایج پژوهش حاضر نشان داد که بیان ماکروفاز M1 با رژیم غذایی پرچرب نسبت به تمرین تناوبی با شدت بالا به طور معنی داری بالاتر بود در حالی که میزان بیان آن با تمرین تناوبی با شدت بالا و تمرین تناوبی با شدت بالا و رژیم غذایی پرچرب نسبت به رژیم غذایی پرچرب به طور معنی داری پایین‌تر بود. در رابطه با ماکروفاز M2 هم نتایج حاکی از میزان بیان معنی دار بالاتر آن هنگام تمرین تناوبی با شدت بالا و تمرین تناوبی با شدت بالا و رژیم غذایی پرچرب نسبت به رژیم غذایی پرچرب به تنها بود.

به طور کلی نتایج نشان‌دهنده این امر بود که تمرین تناوبی با شدت بالا سبب کاهش بیان ماکروفاز M1 و افزایش بیان ماکروفاز M2 می‌شود در حالی که رژیم غذایی پرچرب باعث افزایش بیان ماکروفاز M1 و کاهش بیان ماکروفاز

TLR4/MyD88/NF κ B چری می‌فعال کند که در نهایت فعال شدن این مسیر قطبی شدن ماکروفائزها را به سمت فنوتیپ M1 پیش التهابی سوق می‌دهد (۲۹).

از طرفی نتایج مطالعه ما بیانگر این بود که داشتن هم‌زمان رژیم غذایی پرچرب و تمرین تناوبی با شدت بالا تا حد زیادی می‌تواند اثرات منفی داشتن رژیم غذایی پرچرب به‌نهایی (افزایش بیان ماکروفائز M1 و کاهش بیان ماکروفائز M2) را معکوس کند. در همین راستا مطالعه‌ای نشان داد که تمرینات تناوبی با شدت بالا افزایش ناشی از رژیم iNOS IL-6, TNF- α , CD206, CD163, IL-10 (CD206, CD163) را و کاهش نشانگرهای (IL-10) را در بافت چری موش معکوس کرد (۳۴). به نظر می‌رسد که تمرین تناوبی با شدت بالا می‌تواند اثرات منفی رژیم غذایی پرچرب را بر پلاریزاسیون ماکروفائزها معکوس کند. تمرینات تناوبی شدید مسیرهای سیگنانلینگ التهابی ناشی از رژیم غذایی پرچرب را مهار می‌کند، درحالی که مسیرهای ضدالتهابی را تقویت و قطبیت ماکروفائزها را به سمت فنوتیپ M2 سوق می‌دهد (۲۸, ۲۹). از علل این آثار مثبت می‌توان به سازگاری‌های متابولیسمی ناشی از تمرینات تناوبی شدید اشاره داشت. نشان داده شده است که این نوع تمرینات مصرف انرژی را افزایش می‌دهد، حساسیت به انسولین را بهبود می‌بخشد و ضمن کاهش التهاب محیطی را ایجاد می‌کند که به پلاریزاسیون ماکروفائز به سمت M2 کمک می‌کند (۳۸). علاوه بر این سازگاری‌های میوکارینی (مانند IL-6 و IL-15) می‌توانند فنوتیپ M2 را ارتقا دهنند (۳۲). از طرفی هم فعالیت می‌توانند از طریق چندین مکانیسم بر پلاریزاسیون ماکروفائزها تأثیر بگذارد. تمرینات تناوبی با شدت بالا می‌توانند مسیرهای سیگنانلینگ مرتبط با القای فنوتیپ M1 پرالتهابی مانند NOTCH را مهار کنند، درحالی که مسیرهایی مانند AMPK و PGC-1 α را که موجب پلاریزاسیون ماکروفائزهای ضدالتهابی M2 می‌شوند، فعال می‌کنند (۴۰, ۳۹). به طورکلی به‌منظور کاهش اثرات منفی داشتن رژیم غذایی پرچرب، داشتن تمرینات تناوبی با شدت بالا توصیه می‌شود.

می‌کند. این امر تولید سیتوکین‌های پیش التهابی را سرکوب و از فعال شدن ماکروفائزهای M1 جلوگیری می‌کند (۲۸). علاوه بر این فعالیت ورزشی باعث آزاد شدن آدیپوکاین‌های ضدالتهابی (مانند آدیپونکتین) و میوکارین‌ها (مانند IL-6) می‌شود که پلاریزاسیون ماکروفائز M2 را تقویت می‌کند و در عین حال فعالیت ماکروفائز M1 را مهار می‌کند (۳۰). همچنین فعالیت ورزشی با شدت متوسط تا حد زیادی ممکن است تغییر قطبیت M1 به M2 را تحریک کند که در نهایت اثرات ضدالتهابی را در اندام‌های متعدد اعمال کند (۲۸). با این حال برخی دیگر از پژوهش‌ها در رابطه با اثربخشی تمرینات ورزشی بر بیان ماکروفائزها نتایج متناقضی گزارش کردند (۳۲, ۳۱, ۱۲). از علل اختلاف در نتایج ممکن است به نوع پروتکل طراحی شده، نوع تمرین ورزشی یا شدت متفاوت آن، نوع عضله و زمان جمع‌آوری نمونه‌ها باشد (۳۲, ۳۱, ۱۲). از طرف دیگر داشتن رژیم غذایی پرچرب و تجمع چربی در بدن با التهاب همراه است (۸-۶). در همین راستا هم نتایج مطالعه ما بیانگر افزایش معنی‌دار ماکروفائز M1 و کاهش ماکروفائز M2 بود. همسو با نتایج مطالعه ما پژوهش‌های دیگری نیز دریافتند که چاقی و رژیم‌های غذایی پرچرب با پلاریزه کردن ماکروفائزها به سمت فنوتیپ M1 و مهار حالت ضدالتهابی M2، یک محیط پیش التهابی را در بافت چربی ایجاد می‌کنند (۳۵-۳۳). از دلایل اصلی این تغییرات نامطلوب ممکن است به افزایش حجم سلول‌های چربی با افزایش مصرف غذا پرچرب باشد. سلول‌های چربی به کاهش جریان خون دچار هیپوکسی می‌شوند که در نهایت هیپوکسی با فعال کردن فاکتورهای رونویسی مانند NF κ B و HIF-1 α یک پاسخ پیش التهابی را آغاز می‌کند (۳۶). همچنین، سلول‌های چربی هیپرتروفیک کموکارین‌هایی (مثل MCP-1) ترشح می‌کنند که مونوکارین‌های پیش التهابی Ly6C δ ⁺ بالا را از مغز استخوان جذب می‌کنند. این مونوکارین‌ها به ماکروفائزهای M1 پیش التهابی در بافت چربی تمایز می‌یابند (۳۷). علاوه بر این رژیم‌های پرچرب سطح اندوتوكسین‌ها، اسیدهای چرب آزاد و واسطه‌های التهابی را افزایش می‌دهند. این عوامل مسیر سیگنانلینگ التهابی

1. Lymphocyte Antigen 6 Complex

(۴۶). عالوه بر این، مطالعات نشان داده شده است که که اثرات محافظتی در برابر اختلال عملکرد کبدی دارد و می‌تواند سطح آنزیم‌های کبدی را کاهش و سلامت کلی کبد را بهبود بخشد (۴۸). به هرجهت با داشتن رژیم غذایی پرچرب انجام تمرینات تناوبی شدید با توجه به اثرات وفاید آن توصیه می‌شود. از محدودیت‌های این مطالعه که توصیه می‌شود در تحقیقات آینده بررسی شوند استفاده از رت‌های ماده برای بررسی نقش جنسیت، مطالعه پلاریزاسیون ماکروفاژها در بافت‌های دیگر مانند چربی و قلب است. با در نظر گرفتن این موارد، درک عمیق‌تری از تأثیرات تمرینات تناوبی شدید و رژیم غذایی پرچرب بر ماکروفاژها و ارتباط آن با سلامت به دست خواهد آمد.

نتیجه‌گیری

بر اساس نتایج، انجام تمرینات تناوبی با شدت بالا می‌تواند رویکرد مناسبی برای مدیریت التهاب و تعديل پلاریزاسیون ماکروفاژها در عضلات اسکلتی باشد. این یافته‌ها نشان می‌دهد که تمرینات تناوبی با شدت بالا می‌تواند بیان ماکروفاژهای M1 را کاهش و ماکروفاژهای M2 را افزایش دهد. این امر می‌تواند محیط ضدالتهابی مطلوب‌تری را در عضلات اسکلتی ایجاد کند؛ بنابراین، برای افرادی که رژیم غذایی پرچربی دارند، انجام تمرینات تناوبی با شدت بالا می‌تواند یک توصیه مناسب باشد تا از اثرات نامطلوب رژیم غذایی بر التهاب و پلاریزاسیون ماکروفاژها جلوگیری کند. به طور کلی، این یافته‌ها پتانسیل تمرینات تناوبی با شدت بالا را در تغییر ماکروفاژها از فنوتیپ M1 به M2 و در نتیجه کاهش التهاب در عضلات اسکلتی نشان می‌دهد.

تشکر و قدردانی

پژوهش حاضر مستخرج از طرح رساله دکتری مصوبه دانشگاه تهران می‌باشد. بدینوسیله از تمام افرادی که در انجام این پژوهش همکاری داشته‌اند قدردانی می‌نماییم.

علاوه‌براین دیگر نتایج پژوهش حاضر نشان داد که که رژیم غذایی پرچرب و ترکیب ورزش و رژیم غذایی پرچرب تأثیر قابل توجهی بر پارامترهای متابولیک مختلف، از جمله افزایش وزن، متابولیسم گلوکز و لیپید و سطح آنزیم‌های کبدی دارد. در رابطه با وزن این با مطالعات قبلی که اثربخشی تمرینات تناوبی شدید را در کاهش وزن و بهبود سلامت متابولیک گزارش کرده‌اند، بهویژه در زمینه رژیم‌های غذایی پرچرب که به ایجاد چاقی و مقاومت به انسولین شناخته می‌شوند، مطابقت دارد (۴۲، ۴۱). در رابطه با اثربخشی تمرینات تناوبی شدید نیز مطالعات نقش این نوع تمرینات را در بهبود مسیرهای سیگنال‌دهی انسولین و کاهش مقاومت به انسولین در مدل‌های چاق نشان می‌دهد (۴۳، ۴۴). همچنین یافته‌های دیگر مطالعات نقش تمرینات تناوبی شدید را در بهبود وضعیت پروفایل لیپیدی و متابولیسم آن در اثر نامطلوب رژیم غذایی پرچرب تائید می‌کنند (۴۵). از طرفی افزایش آنزیم‌های کبدی اغلب نشان دهنده استرس یا آسیب کبدی است که معمولاً با چاقی و اختلالات متابولیک مرتبط است. کاهش این سطوح آنزیم در گروه‌های با تمرین تناوبی شدید نشان دهنده یک اثر محافظتی در برابر اختلال عملکرد کبد است، که با ادبیاتی که از نقش فعالیت بدنی در سلامت کبد حمایت می‌کند همسو است (۴۱). به طورکلی تمرینات تناوبی شدید از طریق مسیرهای متفاوتی این اثرات مفید را به همراه دارند. نشان داده شده است که این نوع تمرینات با تحریک بیوژنر میتوکندری عملکرد میتوکندری را بهبود می‌بخشد که منجر به افزایش ظرفیت هوایی و تولید انرژی می‌شود. از طرفی هم مسیرهای سیگنالینگ انسولین را بهبود و مقاومت به انسولین را به ویژه در افراد چاق کاهش می‌دهد که این منجر به جذب بهتر گلوکز و متابولیسم می‌شود و به تنظیم سطح قند خون کمک می‌کند (۴۶). همچنین نشان داده شده است که تمرینات تناوبی شدید با افزایش مصرف اکسیژن پس از ورزش، بهبود فرایندهای متابولیکی (۴۶) سازگاری‌های قلبی عروقی (۴۷) سلامت کلی را به همراه دارد. از طرفی هم تمرینات تناوبی شدید باعث افزایش فعالیت آنزیم‌های کلیدی درگیر در متابولیسم هوایی و بیهوایی می‌شود که منجر به بهبود عملکرد و استقامت عضلانی می‌گردد.

تعارض و منافع

نویسنده‌گان مقاله اعلام می‌دارند که هیچ گونه تضادی در منافع وجود ندارد.

ملاحظات اخلاقی

کلیه ملاحظات اخلاقی در تمام مراحل نگهداری، کشتار نمونه‌ها و دستورالعمل نگهداری حیوانات آزمایشگاهی مورد تأیید کمیته اخلاق با شناسه قرار گرفته است. IR.SSRC.REC.1402.221

منابع

1. Fu H, Tang B, Lang J, Du Y, Cao B, Jin L, et al. High-fat diet promotes macrophage-mediated hepatic inflammation and aggravates diethylnitrosamine-induced hepatocarcinogenesis in mice. *Frontiers in Nutrition* 2020;7:585306.
2. Tan BL, Norhaizan ME. Effect of high-fat diets on oxidative stress, cellular inflammatory response and cognitive function. *Nutrients* 2019;11(11):2579.
3. Nitschke E, Gottesman K, Hamlett P, Mattar L, Robinson J, Tovar A, et al. Impact of nutrition and physical activity interventions provided by nutrition and exercise practitioners for the adult general population: a systematic review and meta-analysis. *Nutrients* 2022;14(9):1729.
4. Fujiwara N, Kobayashi K. Macrophages in inflammation. *Current Drug Targets-Inflammation & Allergy* 2005;4(3):281-286.
5. Liang W, Qi Y, Yi H, Mao C, Meng Q, Wang H, et al. The roles of adipose tissue macrophages in human disease. *Frontiers in Immunology* 2022;13:908749.
6. Guria S, Hoory A, Das S, Chattopadhyay D, Mukherjee S. Adipose tissue macrophages and their role in obesity-associated insulin resistance: an overview of the complex dynamics at play. *Bioscience Reports* 2023;43(3):BSR20220200.
7. Dang Y, Ma C, Chen K, Chen Y, Jiang M, Hu K, et al. The effects of a high-fat diet on inflammatory bowel disease. *Biomolecules* 2023;13(6):905.
8. Dalvi PS, Chalmers JA, Luo V, Han D-Y, Wellhauser L, Liu Y, et al. High fat induces acute and chronic inflammation in the hypothalamus: effect of high-fat diet, palmitate and TNF- α on appetite-regulating NPY neurons. *International Journal of Obesity* 2017;41(1):149-158.
9. Posabella G. Sports injury rate and sports performance: role of low-grade chronic inflammation. *Progress in Nutrition* 2020; 22(3).
10. Baygutalp F, Buzdağı Y, Ozan M, Koz M, Kılıç Baygutalp N, Atasever G. Impacts of different intensities of exercise on inflammation and hypoxia markers in low altitude. *BMC Sports Science, Medicine and Rehabilitation* 2021;13:1-9.
11. Burini RC, Anderson E, Durstine JL, Carson JA. Inflammation, physical activity, and chronic disease: an evolutionary perspective. *Sports Medicine and Health Science* 2020;2(1):1-6.
12. Kawanishi M, Kami K, Nishimura Y, Minami K, Senba E, Umemoto Y, et al. Exercise-induced increase in M2 macrophages accelerates wound healing in young mice. *Physiological Reports* 2022;10(19):e15447.
13. Walton RG, Kosmac K, Mula J, Fry CS, Peck BD, Groshong JS, et al. Human skeletal muscle macrophages increase following cycle training and are associated with adaptations that may facilitate growth. *Scientific Reports* 2019;9(1):969.
14. Martins L, Gallo CC, Honda TSB, Alves PT, Stilhano RS, Rosa DS, et al. Skeletal muscle healing by M1-like macrophages produced by transient expression of exogenous GM-CSF. *Stem Cell Research & Therapy* 2020;11:1-12.
15. Beavers KM, Brinkley TE, Nicklas BJ. Effect of exercise training on chronic inflammation. *Clinica Chimica Acta* 2010;411(11-12):785-793.
16. Abramson JL, Vaccarino V. Relationship between physical activity and inflammation among apparently healthy middle-aged and older US adults. *Archives of Internal Medicine* 2002;162(11):1286-1192.
17. Duan Y, Zeng L, Zheng C, Song B, Li F, Kong X, et al. Inflammatory links between high fat diets and diseases. *Frontiers in Immunology* 2018;9:2649.
18. Alahmadi MA. High-intensity interval training and obesity. *Journal of Novel Physiotherapies* 2014;4(3):211.
19. Monteiro PA, Freitas Junior IF, Zagatto AM, Ribeiro JPJ, Cabral-Santos C, Inoue DS, et al. Acute effect of high-intensity interval training on metabolic and inflammatory markers in obese and overweight adolescents: Pilot study. *European Journal of Inflammation* 2019;17:2058739219877710.
20. Taylor AG, Ignaszewski AI, Bredin SS, Hill JS, Shellington EM, Warburton DE. High Intensity Interval Training Leads to Similar Inflammatory Activation as Seen With Traditional Training in Chronic Heart Failure. *Frontiers in Cardiovascular Medicine* 2022;8:752531.

21. Rohnejad B, Monazzami A. Effects of high-intensity intermittent training on some inflammatory and muscle damage indices in overweight middle-aged men. *Apunts Sports Medicine* 2023;58(217):100404.
22. Khalafi M, Mohebbi H, Karimi P, Faridnia M, Tabari E. The effect of high intensity interval training and moderate intensity continuous training on mitochondrial content and pgc-1 α of subcutaneous adipose tissue in male rats with high fat diet induced obesity. *Journal of Sport Biosciences* 2018;10(3):297-315.
23. Hazlehurst JM, Woods C, Marjot T, Cobbold JF, Tomlinson JW. Non-alcoholic fatty liver disease and diabetes. *Metabolism* 2016;65(8):1096-1108.
24. Martinez-Huenchullan SF, Ban LA, Olaya-Agudo LF, Maharjan BR, Williams PF, Tam CS, et al. Constant-moderate and high-intensity interval training have differential benefits on insulin sensitive tissues in high-fat fed mice. *Frontiers in Physiology*. 2019;10:459.
25. Sadeghi R, Keshavarz S, Kargarfard M, Banaii J. The Effects of Aerobic, Resistance, and Combined Exercise on Adiponectin and CTRP-9 Levels in Patients with Type 2 Diabetes Mellitus. *Journal of Applied Health Studies in Sport Physiology* 2022;9(2):173-187.
26. Friedewald WT, Levy RI, Fredrickson DS. Estimation of the concentration of low-density lipoprotein cholesterol in plasma, without use of the preparative ultracentrifuge. *Clinical Chemistry* 1972;18(6):499-502.
27. Boersma E, Kertai MD, Schouten O, Bax JJ, Noordzij P, Steyerberg EW, et al. Perioperative cardiovascular mortality in noncardiac surgery: validation of the Lee cardiac risk index. *The American Journal of Medicine* 2005;118(10):1134-1141.
28. Luo L, Liu M, Xie H, Fan Y, Zhang J, Liu L, et al. High-Intensity Interval Training Improves Physical Function, Prevents Muscle Loss, and Modulates Macrophage-Mediated Inflammation in Skeletal Muscle of Cerebral Ischemic Mice. *Mediators of inflammation* 2021;2021(1):1849428.
29. Shanaki M, Khosravi M, Khoshdooni-Farahani A, Dadashi A, Heydari MF, Delfan M, et al. High-intensity interval training reversed high-fat diet-induced M1-macrophage polarization in rat adipose tissue via inhibition of NOTCH signaling. *Journal of Inflammation Research* 2020;165-174.
30. Bo B, Guo A, Kaila SJ, Hao Z, Zhang H, Wei J, et al. Elucidating the primary mechanisms of high-intensity interval training for improved cardiac fitness in obesity. *Frontiers in Physiology* 2023;14:1170324.
31. Lira FS, Koyama CH, Yamashita AS, Rosa JC, Zanchi NE, Batista Jr ML, et al. Chronic exercise decreases cytokine production in healthy rat skeletal muscle. *Cell Biochemistry and Function* 2009;27(7):458-461.
32. Przybyla B, Gurley C, Harvey JF, Bearden E, Kortebain P, Evans WJ, et al. Aging alters macrophage properties in human skeletal muscle both at rest and in response to acute resistance exercise. *Experimental Gerontology* 2006;41(3):320-327.
33. Lumeng CN, Bodzin JL, Saltiel AR. Obesity induces a phenotypic switch in adipose tissue macrophage polarization. *The Journal of Clinical Investigation* 2007;117(1):175-184.
34. Zheng C, Yang Q, Cao J, Xie N, Liu K, Shou P, et al. Local proliferation initiates macrophage accumulation in adipose tissue during obesity. *Cell Death & Disease* 2016;7(3):e2167-e.
35. Kratz M, Coats BR, Hisert KB, Hagman D, Mutskov V, Peris E, et al. Metabolic dysfunction drives a mechanistically distinct proinflammatory phenotype in adipose tissue macrophages. *Cell Metabolism* 2014;20(4):614-625.
36. Santos EW, Oliveira DC, Hastreiter A, Silva GB, Beltran JSdO, Rogero MM, et al. Short-term high-fat diet affects macrophages inflammatory response, early signs of a long-term problem. *Brazilian Journal of Pharmaceutical Sciences* 2019;55:e17561.
37. Li X, Ren Y, Chang K, Wu W, Griffiths HR, Lu S, et al. Adipose tissue macrophages as potential targets for obesity and metabolic diseases. *Frontiers in Immunology* 2023;14:1153915.
38. Ye J. Emerging role of adipose tissue hypoxia in obesity and insulin resistance. *International journal of obesity*. 2009;33(1):54-66.
39. O'Neill HM, Holloway GP, Steinberg GR. AMPK regulation of fatty acid metabolism and mitochondrial biogenesis: implications for obesity. *Molecular and Cellular Endocrinology* 2013;366(2):135-151.
40. Vats D, Mukundan L, Odegaard JI, Zhang L, Smith KL, Morel CR, et al. Oxidative metabolism and PGC-1 β attenuate macrophage-mediated inflammation. *Cell Metabolism* 2006;4(1):13-24.
41. Asqari Q, Gholami F, Bashiri J, Donyaei A. High-intensity interval training ameliorates high-fat diet-induced elevation of aminotransferases in male Wistar rats. *Journal of Shahrood University of Medical Sciences* 2021;23(3):111-115.
42. Karimi M, Saghebjoo M, Sarir H, Hedayati M. Skeletal muscle metabolomics analysis after high-intensity interval training in rats fed a high-fat diet. *Daneshvar Medicine* 2024;31(5):69-91.
43. Faezi G, Sherafati Moghadam M, Shadmehri S, Fathalipour M. The effect of 4 weeks high-intensity interval training (HIIT) on the content of downstream and upstream mTORC1 pathways gastrocnemius muscle of type 2 diabetic rats. *Medical Science Journal of Islamic Azad University-Tehran Medical Branch* 2020;30(2):120-127.
44. Zojaji Z, Behrestaq SF, Askari B. Effect of

- Eight Weeks of High Intensity Interval Training on Insulin Resistance and IRS1 Gene Expression in Gastrocnemius Muscle of Obese Wistar Rats. Medical Laboratory Journal 2022;16(3).
45. Boutcher SH. High-intensity intermittent exercise and fat loss. Journal of Obesity 2011;2011(1):868305.
46. Wu Z-J, Wang Z-Y, Gao H-E, Zhou X-F, Li F-H. Impact of high-intensity interval training on cardiorespiratory fitness, body composition, physical fitness, and metabolic parameters in older adults: A meta-analysis of randomized controlled trials. Experimental Gerontology 2021;150:111345.
47. Atakan MM, Li Y, Koşar ŞN, Turnagöl HH, Yan X. Evidence-based effects of high-intensity interval training on exercise capacity and health: A review with historical perspective. International Journal of Environmental Research and Public Health 2021;18(13):7201.
48. Kazemi SS, Heidarianpour A, Shokri E. Effect of resistance training and high-intensity interval training on metabolic parameters and serum level of Sirtuin1 in postmenopausal women with metabolic syndrome: a randomized controlled trial. Lipids in Health and Disease 2023;22(1):177.